

Lectura 3.1: Redes Neuronales Informadas por Física

Introducción a las redes neuronales informadas por física
Especialización en Inteligencia Artificial - B52024

Outline

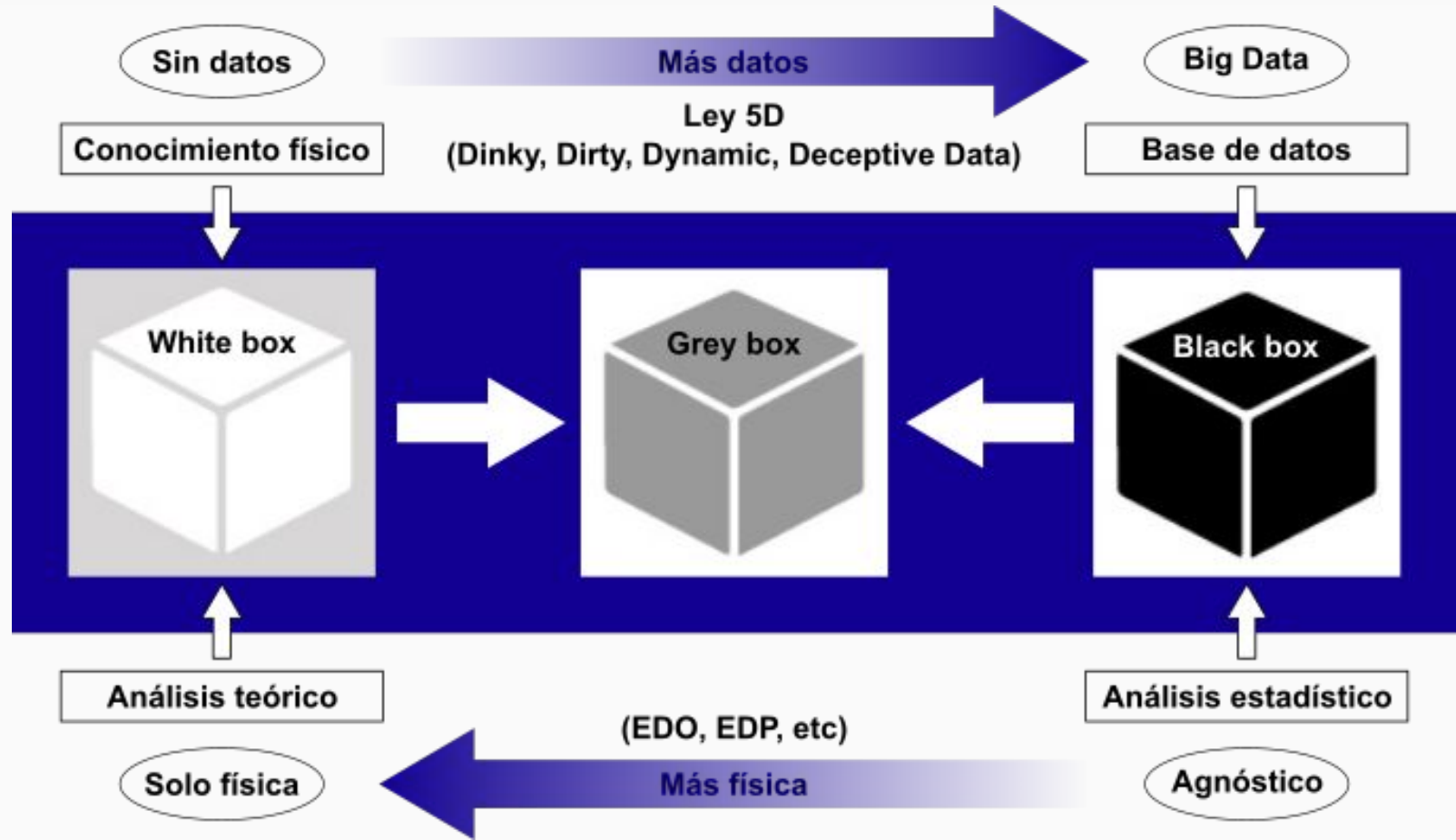
- Fundamentos teóricos
- Construcción de modelos vanilla PINN paso a paso
- Ejemplos de implementación

Paper fundacional

Physics-informed neural networks (PINN): A Deep Learning framework for solving forward and inverse problems involving nonlinear partial differential equations.

M. Raissi, P. Perdikaris, G. E. Karniadakis. *Journal of Computational Physics* 378, 686-707, 2019.

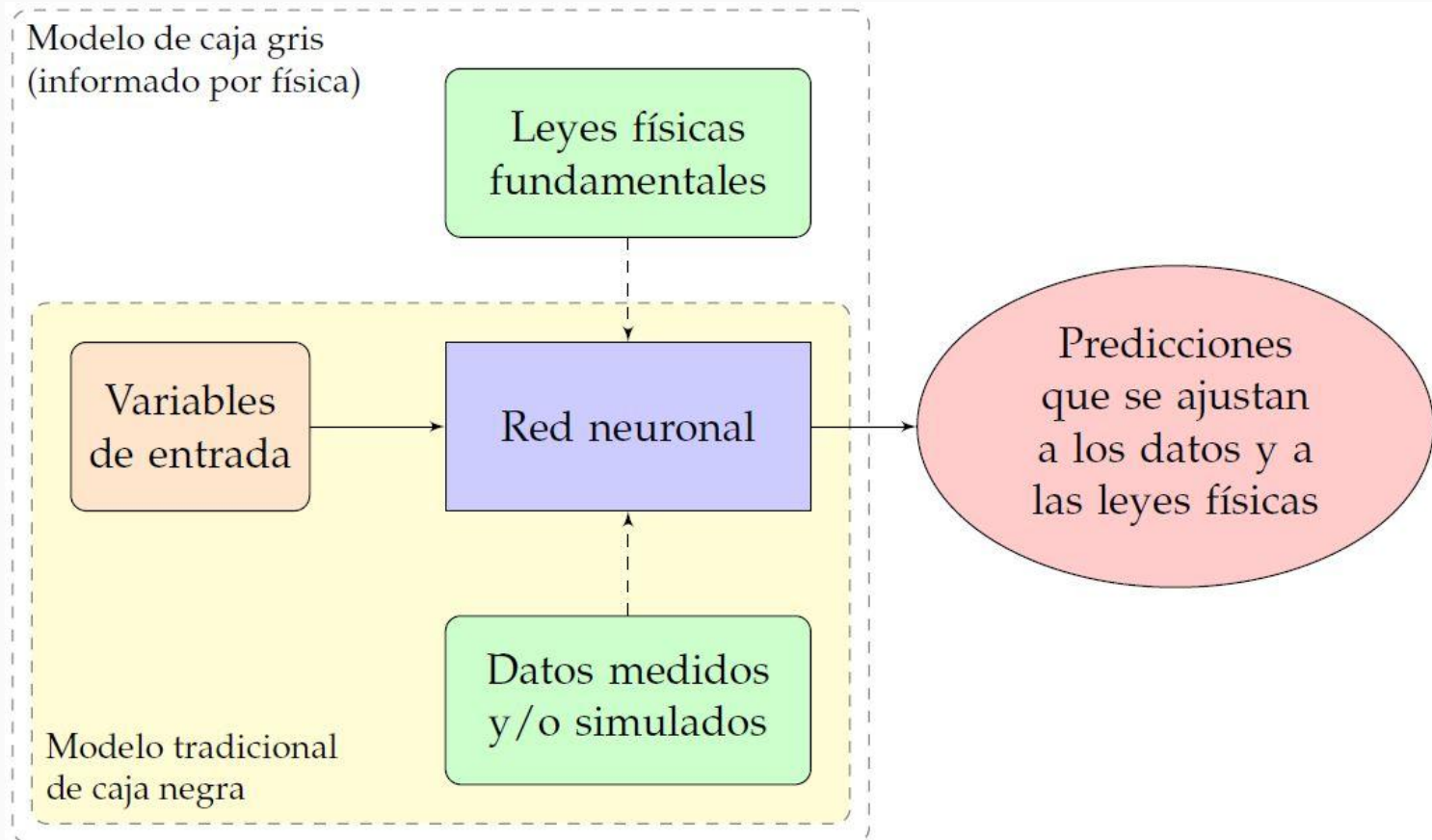
Datos + leyes físicas



Campos de aplicación

- Problemas directos
- Problemas inversos
- Problemas paramétricos
- Descubrimiento de física

Esquema elemental



Construcción de modelos vanilla

PINN paso a paso

Planteo abstracto del problema a resolver

- Consideremos el siguiente PVIB:

$$\begin{aligned}u_t(\mathbf{x}, t) + \mathcal{N}[u](\mathbf{x}, t) &= 0, & \mathbf{x} \in \Omega, t \in [0, T], \\ \mathcal{B}[u](\mathbf{x}, t) &= g(\mathbf{x}, t), & \mathbf{x} \in \partial\Omega, t \in [0, T], \\ \mathcal{I}[u](\mathbf{x}, 0) &= h(\mathbf{x}), & \mathbf{x} \in \Omega \cup \partial\Omega,\end{aligned}$$

cuya solución (desconocida) es: $u : \Omega \times [0, T] \rightarrow \mathbb{R}$

- Construimos una red neuronal que aproxime a “u”, representada como:

$$\hat{u} = f_{\boldsymbol{\theta}}(\mathbf{x}, t). \quad f : \Omega \times [0, T] \rightarrow \mathbb{R}$$

donde θ son los parámetros ajustables de la red.

Residuos de las ED

- Si reemplazamos “u” por su aproximación “f”, podemos reescribir el PVIB de la siguiente manera:

$$\mathcal{R}_{\mathcal{N}}(\mathbf{x}, t; \boldsymbol{\theta}) = \frac{\partial}{\partial t}[f_{\boldsymbol{\theta}}(\mathbf{x}, t)] + \mathcal{N}[f_{\boldsymbol{\theta}}](\mathbf{x}, t),$$

$$\mathcal{R}_{\mathcal{B}}(\mathbf{x}, t; \boldsymbol{\theta}) = \mathcal{B}[f_{\boldsymbol{\theta}}](\mathbf{x}, t) - g(\mathbf{x}, t),$$

$$\mathcal{R}_{\mathcal{I}}(\mathbf{x}, t; \boldsymbol{\theta}) = \mathcal{I}[f_{\boldsymbol{\theta}}](\mathbf{x}, t) - h(\mathbf{x})$$

- Los definidos son los “residuos” de las ED correspondientes → En general, distintos de cero
- Si se lograra que sean iguales a cero, la aproximación “f” satisfecería el PVIB... Cómo podemos proceder??

Residuos de las ED como funciones de pérdida

Recordemos la

definición de riesgo:

$$J^*(\boldsymbol{\theta}) = \mathbb{E}_{(\mathbf{x}, y) \sim p_{\text{data}}} L(f(\mathbf{x}; \boldsymbol{\theta}), y).$$

$$\mathcal{L}^*(\boldsymbol{\theta}) = \underbrace{\int_{\Omega \times [0, T]} |\mathcal{R}_{\mathcal{N}}(\mathbf{x}, t; \boldsymbol{\theta})|^2 \, d\Omega \, dt}_{\mathcal{L}_{\mathcal{N}}^*(\boldsymbol{\theta})} + \underbrace{\int_{\partial\Omega \times [0, T]} |\mathcal{R}_{\mathcal{B}}(\mathbf{x}, t; \boldsymbol{\theta})|^2 \, d\Gamma \, dt}_{\mathcal{L}_{\mathcal{B}}^*(\boldsymbol{\theta})} + \underbrace{\int_{\Omega} |\mathcal{R}_{\mathcal{I}}(\mathbf{x}, t; \boldsymbol{\theta})|^2 \, d\Omega}_{\mathcal{L}_{\mathcal{I}}^*(\boldsymbol{\theta})}$$

No es posible resolver las integrales directamente, debemos emplear una aproximación discreta \rightarrow Cuadraturas

Cuadraturas y puntos de colocación

- La aprox. numérica de integrales se realiza mediante reglas de cuadratura.
- En 1D podemos utilizar reglas de Simpson, Newton-Cotes o cuadraturas de Gauss-Legendre (también en 2D y 3D), que evalúan la integral en grillas regulares:

$$\int_{-1}^1 f(x) dx \approx \sum_{i=1}^n w_i f(x_i),$$

Number of points, n	Points, x_i		Weights, w_i	
1	0		2	
2	$\pm \frac{1}{\sqrt{3}}$	$\pm 0.57735\dots$	1	
3	0		$\frac{8}{9}$	0.888889...
	$\pm \sqrt{\frac{3}{5}}$	$\pm 0.774597\dots$	$\frac{5}{9}$	0.555556...

En problemas de alta dimensionalidad, la aplicación repetida de tales reglas sufre de la CoD.

Cuadraturas y puntos de colocación: método Monte Carlo

- Método no determinístico que implica el muestreo aleatorio de puntos bajo diferentes estrategias: uniforme, estratificado, importancia, etc.

Integral exacta

$$I = \int_{\Omega} f(\bar{\mathbf{x}}) d\bar{\mathbf{x}}$$

Volumen

$$V = \int_{\Omega} d\bar{\mathbf{x}}$$

Muestreo aleatorio

$$\bar{\mathbf{x}}_1, \dots, \bar{\mathbf{x}}_N \in \Omega,$$

Aproximación de la integral

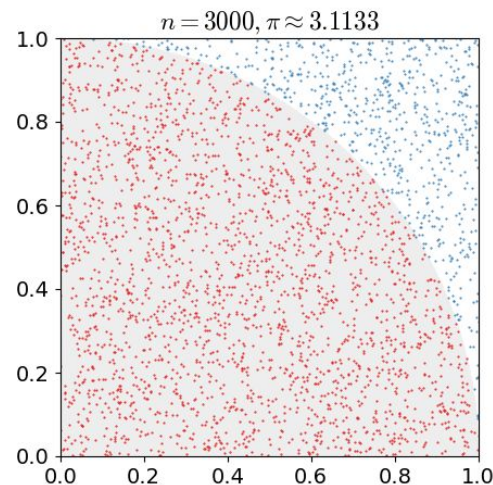
$$I \approx Q_N \equiv V \frac{1}{N} \sum_{i=1}^N f(\bar{\mathbf{x}}_i) = V \langle f \rangle.$$

Estimación del error:

$$\delta Q_N \approx \sqrt{\text{Var}(Q_N)} = V \frac{\sigma_N}{\sqrt{N}}$$

T. de los grandes números:

$$\lim_{N \rightarrow \infty} Q_N = I.$$



Residuos evaluados en los puntos de colocación

- De esta manera, los residuos se deben expresar de manera discreta en base a los puntos de colocación muestreados aleatoriamente (muestras i.i.d.):

$$\mathcal{R}_{\mathcal{N}}(\mathbf{x}_i, t_i; \boldsymbol{\theta}) = \frac{\partial}{\partial t}[f_{\boldsymbol{\theta}}(\mathbf{x}_i, t_i)] + \mathcal{N}[f_{\boldsymbol{\theta}}](\mathbf{x}_i, t_i), \quad i = 1, \dots, N_{\mathcal{N}}$$

$$\mathcal{R}_{\mathcal{B}}(\mathbf{x}_j, t_j; \boldsymbol{\theta}) = \mathcal{B}[f_{\boldsymbol{\theta}}](\mathbf{x}_j, t_j) - g(\mathbf{x}_j, t_j), \quad j = 1, \dots, N_{\mathcal{B}}$$

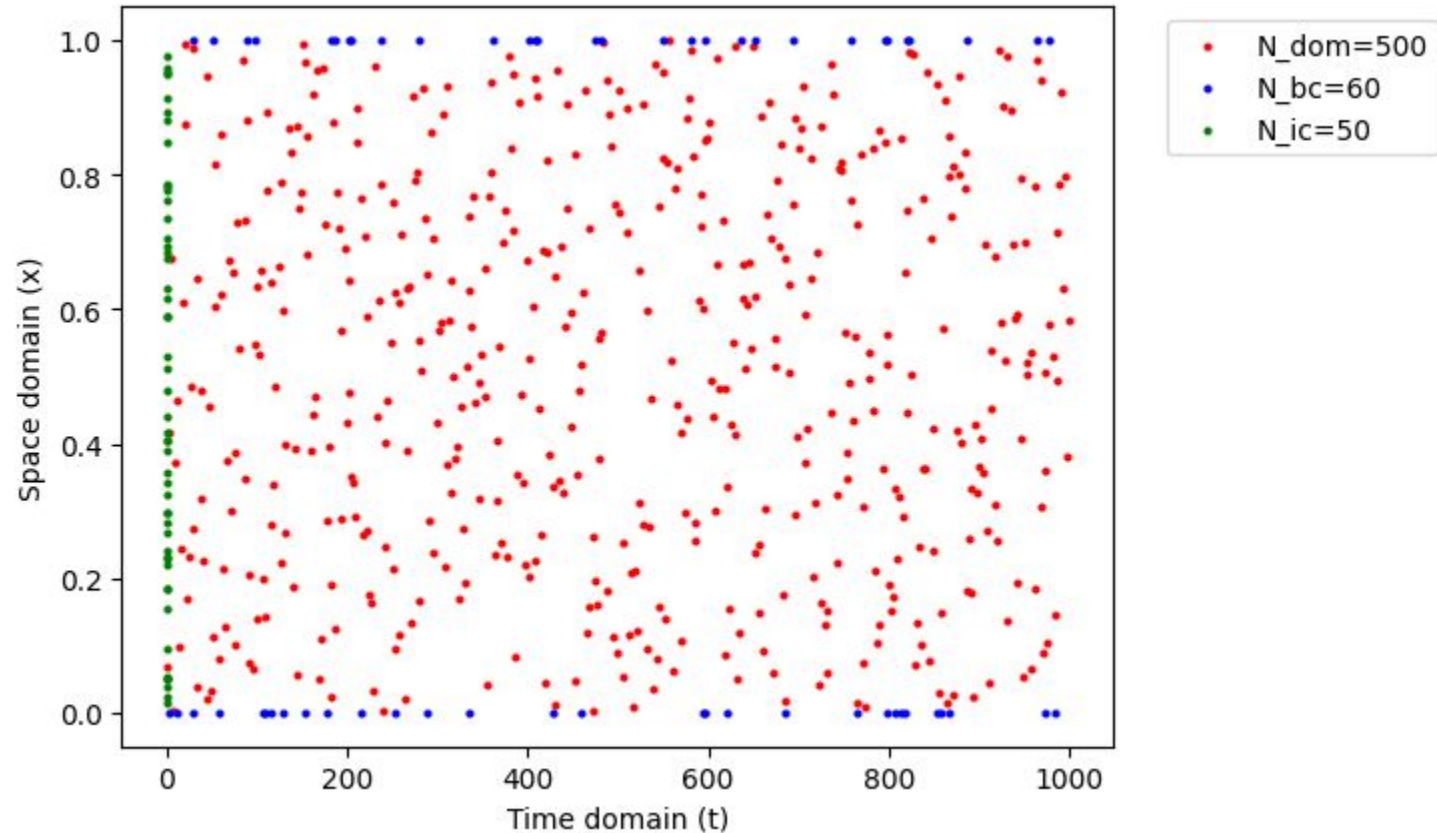
$$\mathcal{R}_{\mathcal{I}}(\mathbf{x}_k, t_k; \boldsymbol{\theta}) = \mathcal{I}[f_{\boldsymbol{\theta}}](\mathbf{x}_k, t_k) - h(\mathbf{x}_k), \quad k = 1, \dots, N_{\mathcal{I}}$$

$$X_{\mathcal{N}} = \begin{pmatrix} \mathbf{x}_1 & t_1 \\ \mathbf{x}_2 & t_2 \\ \vdots & \vdots \\ \mathbf{x}_{N_{\mathcal{N}}} & t_{N_{\mathcal{N}}} \end{pmatrix}$$

$$X_{\mathcal{B}} = \begin{pmatrix} \mathbf{x}_1 & t_1 \\ \mathbf{x}_2 & t_2 \\ \vdots & \vdots \\ \mathbf{x}_{N_{\mathcal{B}}} & t_{N_{\mathcal{B}}} \end{pmatrix}$$

$$X_{\mathcal{I}} = \begin{pmatrix} \mathbf{x}_1 & t_1 \\ \mathbf{x}_2 & t_2 \\ \vdots & \vdots \\ \mathbf{x}_{N_{\mathcal{I}}} & t_{N_{\mathcal{I}}} \end{pmatrix}$$

Ejemplo de ubicación de puntos de colocación



Función de pérdida empírica de PINN

- Residuos definidos en base a los puntos de colocación en cada término:

$$\mathcal{L}_j^*(\boldsymbol{\theta}) \approx \frac{1}{N_j} \sum_{i=1}^{N_j} \mathcal{R}_j(\mathbf{x}_i^j, t_i^j; \boldsymbol{\theta})^2 := \mathcal{L}_j(\boldsymbol{\theta}), \quad j : \{\mathcal{N}, \mathcal{B}, \mathcal{I}\}$$

- Notar que también se podría incluir un término de ajuste de datos rotulados:

$$\mathcal{L}_{\mathcal{D}}(\boldsymbol{\theta}) = \frac{1}{N_{\mathcal{D}}} \sum_{i=1}^{N_{\mathcal{D}}} [f_{\boldsymbol{\theta}}(\mathbf{x}_i, t_i) - u(\mathbf{x}_i, t_i)]^2$$

$$X_{\text{data}} = \begin{pmatrix} \mathbf{x}_1 & t_1 & | & u_1 \\ \mathbf{x}_2 & t_2 & | & u_2 \\ \vdots & \vdots & | & \vdots \\ \mathbf{x}_{N_{\mathcal{D}}} & t_{N_{\text{data}}} & | & u_{N_{\mathcal{D}}} \end{pmatrix}$$

Función de pérdida empírica de PINN

- Aprendizaje supervisado (black-box model):

$$\mathcal{L}(\boldsymbol{\theta}) = \mathcal{L}_{\mathcal{D}}(\boldsymbol{\theta})$$

- Aprendizaje no supervisado (PINN **sin** datos rotulados → white-box model):

$$\mathcal{L}(\boldsymbol{\theta}) = \mathcal{L}_{\mathcal{N}}(\boldsymbol{\theta}) + \lambda_{\mathcal{B}}\mathcal{L}_{\mathcal{B}}(\boldsymbol{\theta}) + \lambda_{\mathcal{I}}\mathcal{L}_{\mathcal{I}}(\boldsymbol{\theta})$$

- Aprendizaje semi-supervisado (PINN **con** datos rotulados → grey-box model):

$$\mathcal{L}(\boldsymbol{\theta}) = \mathcal{L}_{\mathcal{N}}(\boldsymbol{\theta}) + \lambda_{\mathcal{B}}\mathcal{L}_{\mathcal{B}}(\boldsymbol{\theta}) + \lambda_{\mathcal{I}}\mathcal{L}_{\mathcal{I}}(\boldsymbol{\theta}) + \lambda_{\mathcal{D}}\mathcal{L}_{\mathcal{D}}(\boldsymbol{\theta})$$

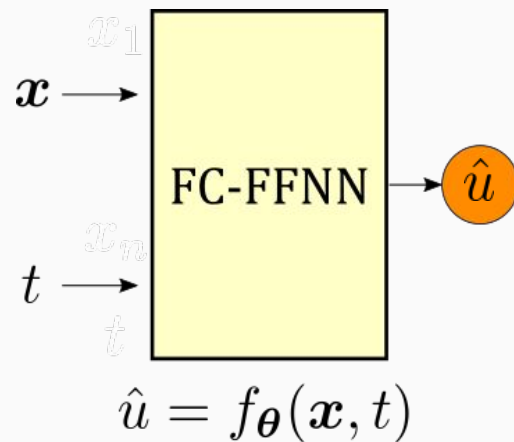
Red neuronal feed-forward

$$X_{\mathcal{N}} = \begin{pmatrix} \mathbf{x}_1 & t_1 \\ \mathbf{x}_2 & t_2 \\ \vdots & \vdots \\ \mathbf{x}_{N_{\mathcal{N}}} & t_{N_{\mathcal{N}}} \end{pmatrix}$$

$$X_{\mathcal{I}} = \begin{pmatrix} \mathbf{x}_1 & t_1 \\ \mathbf{x}_2 & t_2 \\ \vdots & \vdots \\ \mathbf{x}_{N_{\mathcal{I}}} & t_{N_{\mathcal{I}}} \end{pmatrix}$$

$$X_{\mathcal{B}} = \begin{pmatrix} \mathbf{x}_1 & t_1 \\ \mathbf{x}_2 & t_2 \\ \vdots & \vdots \\ \mathbf{x}_{N_{\mathcal{B}}} & t_{N_{\mathcal{B}}} \end{pmatrix}$$

$$X_{\text{data}} = \left(\begin{array}{cc|c} \mathbf{x}_1 & t_1 & u_1 \\ \mathbf{x}_2 & t_2 & u_2 \\ \vdots & \vdots & \vdots \\ \mathbf{x}_{N_{\mathcal{D}}} & t_{N_{\text{data}}} & u_{N_{\mathcal{D}}} \end{array} \right)$$



C  puto de derivadas - Autodiff

$$\mathcal{N}[f_{\theta}(\mathbf{x}_i, t_i)] \rightarrow \hat{u}_t, \hat{u}_{tt}, \nabla \hat{u}, \Delta \hat{u}, \dots$$

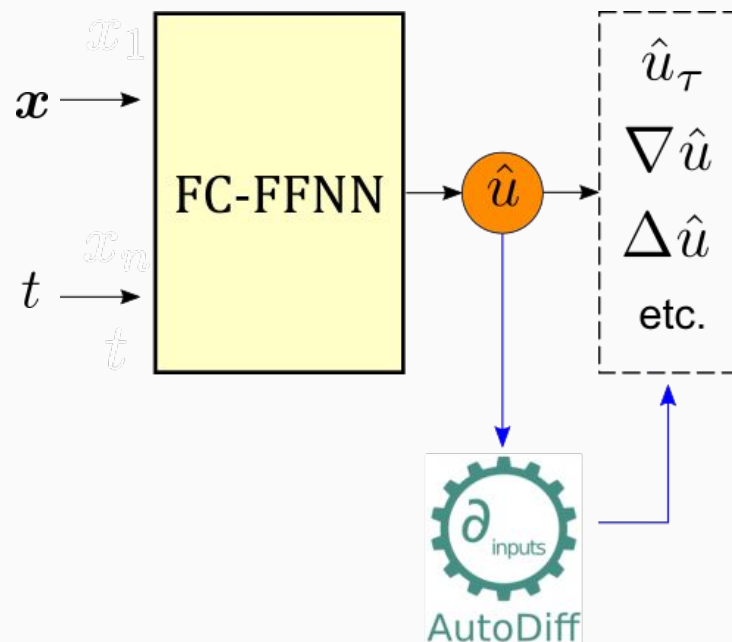
$$\mathcal{B}[f_{\theta}(\mathbf{x}_i, t_i)] \rightarrow \nabla \hat{u}, \Delta \hat{u}, \dots$$

$$\mathcal{I}[f_{\theta}(\mathbf{x}_i, t_i)] \rightarrow \hat{u}_t, \dots$$

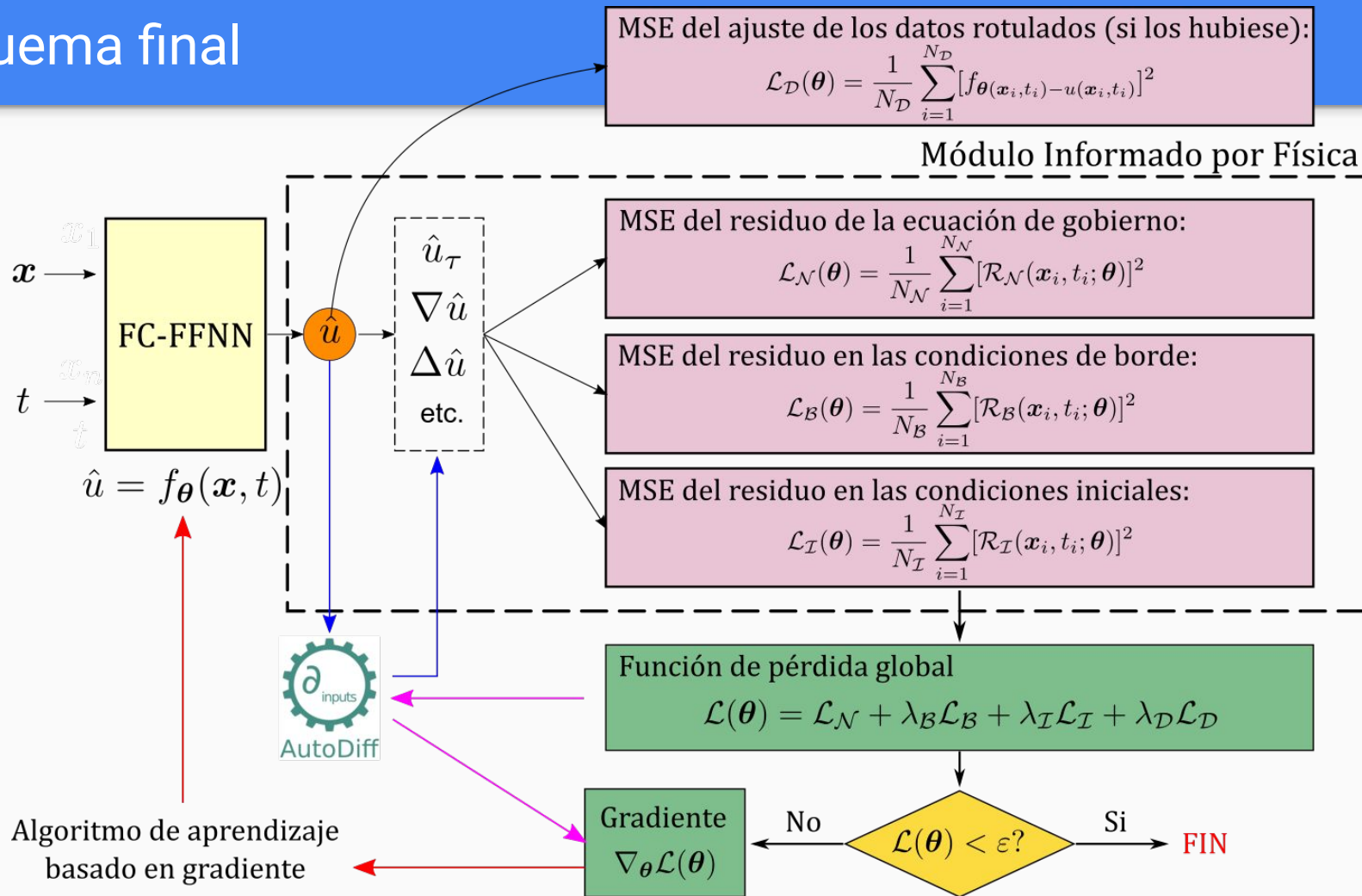
Autograd:

PyTorch: `torch.autograd.grad(X, u, ...)`

TF: `tape.gradient(u, X, ...)`



Esquema final



Algunos ejemplos de aplicación

Ecuaciones a resolver via PINN (ver en colab)

Ec. del calor 1D sin fuente térmica en régimen transiente:

$$\frac{\partial T}{\partial t} = \alpha \frac{\partial^2 T}{\partial x^2}, \quad x \in [0, L], t \in (0, t_f]$$

$$T(0, t) = T(L, t) = T_{bc}, \quad t \in (0, t_f]$$

$$T(x, 0) = T_0 \sin(\pi x/L) + T_{bc}, \quad x \in [0, L]$$

Ecuación difusiva (lineal)

Ec. de Burgers viscosa 1D sin fuente en régimen transiente:

$$\frac{\partial u}{\partial t} + u \frac{\partial u}{\partial x} - \nu \frac{\partial^2 u}{\partial x^2} = 0, \quad x \in [-1, 1], t \in (0, t_f]$$

$$u(0, x) = -\sin(\pi x), \quad x \in [-1, 1]$$

$$u(-1, t) = u(1, t) = 0, \quad t \in (0, t_f]$$

Ecuación de convección-difusión (no lineal)

Visualización del loss landscape

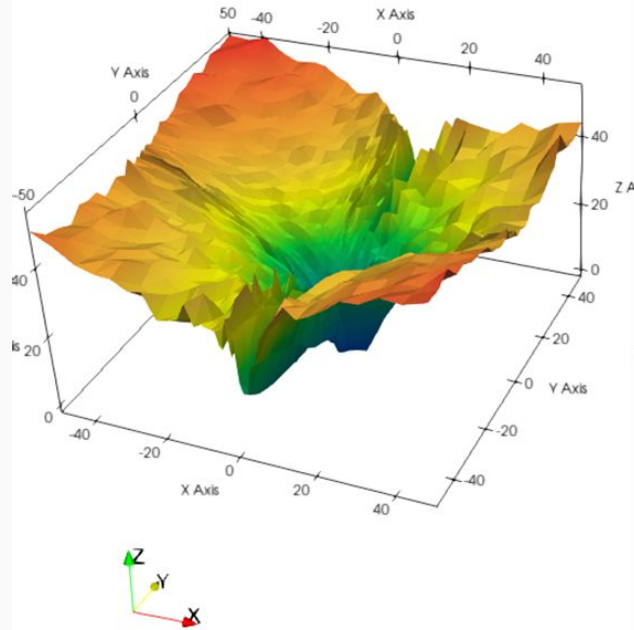
¿Cómo visualizar una gráfica de una función dependiente de $N \gg 2$ variables?

Receta:

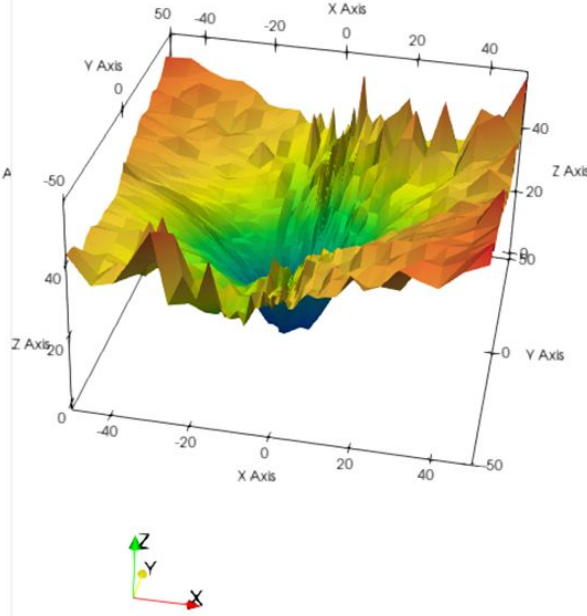
- Fijar los valores de θ → Punto fijo θ^*
- Elegir dos vectores dirección δ y η (al azar o mediante PCA, por ej.)
- Construir y graficar la función $f(\alpha, \beta) = L(\theta^* + \alpha\delta + \beta\eta)$

Visualización del loss landscape

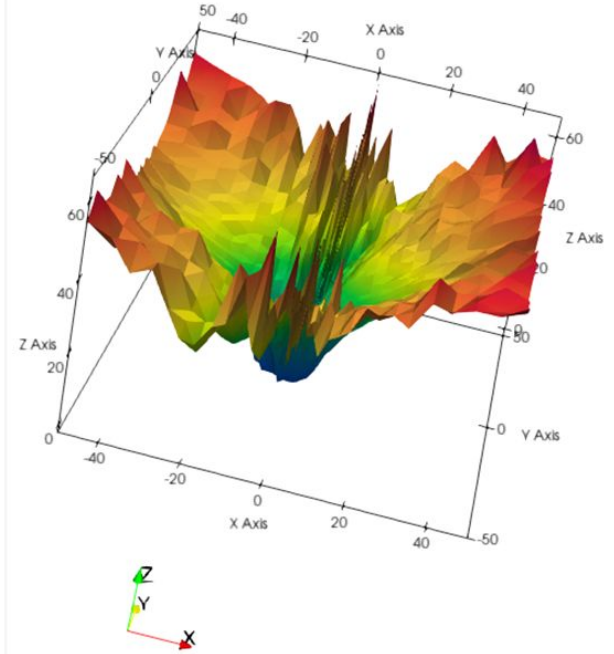
$$\nu = 10^{-8}$$



$$\nu = 10^{-3}$$



$$\nu = 10^{-2}$$



Ecuación de Burgers viscosa 1D

¿Dudas o
preguntas?